

GAODENG XUEXIAO CANKAOSHU

化工机械力学基础

王仁东 编

化学工业出版社

高等学校教学参考书

化工机械力学基础

王仁东 编

化学工业出版社

本书是根据化工机械专业教材编审小组的决策编写的。本书内容是有关化工机械设计、制造、运转和修理工作中常碰到的一些力学问题的基本理论知识。

本书可作为高等学校化工机械专业加选课的教材或教学参考书，还可作为化工机械专业研究生，进修教师或有关工程技术人员的参考书。

高等学校教学参考书

化工机械力学基础

王仁东 编

*

化学工业出版社出版 (北京安定门外和平里七区八号)

北京市书刊出版业营业登记证出字第120号

中国工业出版社第四印刷厂印刷

新华书店北京发行所发行。各地新华书店经售

开本：787×1092毫米 1/16 1986年5月北京第1版

印张：7 1/4 1986年5月北京第1版第1次印刷

字数：170,000

印数：1—4,142

定价：(科六) 0.95 元

书号：15063·1081

序 言

这是一本化工机械专业适用的教学参考书，是根据 1963 年化工机械专业教材编审小组的决议编写的。

本书内容是有关化工机械设计、制造、运转和修理工作中所常碰到的一些力学问题的基本理论知识。共分六章。第一章容器强度理论，探讨了薄壁容器的边缘应力问题。用不多的篇幅，由浅入深推导了平板、球形和椭球形端盖以及圆锥形筒节和圆柱形容器相连接部分的边缘应力计算公式。边缘应力的概念和计算方法是容器设计和制造修理工作中常需考虑到和用到的。第二章详细说明了设计承受外压的容器时，必需用到的几个重要公式的来源和其推导过程。第三章分析了回转圆筒所用环箍的强度和刚度问题。着重分析了环箍的安装形式对应力的影响，说明了安装间隙过大的危害性。第四章先介绍弹性力学的简单基础，通过梁弯曲问题的例子，说明了弹性力学应力函数解法的性质，然后以蒲新尼斯克解为基础，推导出两圆柱体相接触时所产生的形变和应力基本公式。这一章具有两个意义：（1）通过对接触应力实质的了解，掌握接触应力和圆柱体半径间关系的概念，认识到专业书中所介绍计算方法的局限性，并能在实际工作中灵活应用，正确解决接触应力问题，（2）通过解决圆柱体接触应力的问题，对弹性力学方法获得一定的认识，为进一步研究和应用弹性力学方法，创造有利的条件。第五章机械振动，以化工机械专业范围内常碰到的，例如离心机、鼓风机、屋架、大型回转窑等的振动问题为对象，比较全面地讨论了机械振动问题。除具有一个到几个集中荷重的轴的临界转速问题外，还讨论了分布荷重的轴的临界转速，以及扭转振动临界转速。这样较全面和较深入地掌握了机械振动分析的理论基础，对于解决生产中的实际问题，创造了较为良好的条件。最后一章高速回转零件的应力，也以离心机、鼓风机、离心泵等的转鼓或转子为对象，并介绍了分析结构型式复杂的转子回转应力的数字积分法。

当然，本书所讨论的问题，仅从力学角度上来考虑，而且限于弹性范围内。在解决生产问题的具体工作中，还需从其他方面，如工艺要求、材料的性质、加工方法、经济性等作出综合的考虑。例如用韧性良好的材料制成的容器，局部应力超过弹性极限并不意味着容器的破坏；由于局部的塑性流动，会造成应力状态重新分配，而仍能安全地工作。有些化工机械范围内的强度问题，在力学方面尚未有很好的解决方法（例如管板的强度问题），因而不能在本书中介绍。

本书对环箍松套在鞍座上的分析、方法和结果同一般文献并不相同；推导接触应力和形变公式的方法，也和一般弹性力学教本不一样。发现外压容器的米赛斯公式并不是理论式，而是近似公式，而且有可能写出更接近于理论值的其他形式的近似公式。这些都是编者挣脱书本的束缚，提出自己见解的尝试。但限于编者的水平，书中恐有不少错误或欠妥之处，希望读者随时提出批评指正。

本书承华东化工学院陈维新教授审阅，提出不少宝贵意见，在此表示感谢。

王仁东

1965 年 8 月 12 日

目 录

序言

第一章 容器強度理論	1
第1节 引言	1
第2节 圓柱形容器的有力矩理論	1
第3节 一般軸對稱容器的有力矩理論	5
第4节 球形端蓋的邊緣問題	9
第5节 椭球形端蓋的邊緣問題	12
第6节 圓錐形容器的邊緣問題	13
第7节 圓柱形容器加環箍的作用	18
第二章 圓柱形容器的穩定性理論	20
第1节 引言	20
第2节 長圓筒在外壓下的穩定問題（勃萊斯公式）	21
第3节 容器壁複雜形變的分析	24
第4节 複雜形變容器壁的平衡方程式	28
第5节 受周圍外壓的容器穩定性分析	32
第6节 同時受周圍和軸向外壓的容器穩定性分析	38
第三章 環箍的強度和剛度	40
第1节 引言	40
第2节 環箍被固定在圓筒壁上時的弯曲應力	41
第3节 環箍松套在鞍座上，沒有間隙的情況	48
第4节 環箍松套在鞍座上，有間隙存在的情況	48
第5节 環箍的剛度	50
第6节 環箍的溫度應力	52
第四章 接觸應力	56
第1节 敘說	56
第2节 強性理論平面問題的基本方程式	57
第3节 梁弯曲的彈性理論平面問題解法	60
第4节 蒲新尼克斯解案	61
第5节 兩圓柱體相接觸問題的形變分析	62
第6节 兩圓柱體相接觸的應力分析	65
第五章 机械振动	68
第1节 引言	68
第2节 單轉子軸的臨界轉速	70
第3节 多轉子軸的臨界轉速	73
第4节 窄轉子的陀螺效應	76
第5节 寬轉子的陀螺效應	78
第6节 挠性軸承的作用	82

第 7 节	均勻軸的臨界轉速	83
第 8 节	扭轉振動	87
第 9 节	大型迴轉塞扭轉振動計算的概念	90
第六章	高速迴轉零件的应力	93
第 1 节	概說	93
第 2 节	迴轉容器中的流體表面	94
第 3 节	高速迴轉圓錐形容器的应力和形變	95
第 4 节	物料離心力所造成的容器壁的应力和形變	97
第 5 节	計算例題	100
第 6 节	高速迴轉薄圓盤的应力和形變	105
第 7 节	不勻厚度的高速迴轉盤	107
第 8 节	具有任意輪廓的不勻厚度迴轉盤的近似解法	109

第一章 容器强度理論

第1节 引言

化学工业中应用很多薄壁容器。計算一般薄壁容器在內压力作用下的强度时，不仅可忽略在壁厚方向中应力的变化，而且往往可忽略弯矩和剪力的影响。此时仅仅計算器壁中的张应力；因为不計算弯矩，故这样的理論称为无力矩理論。

在內压力的作用下，如容器壁形变的发展并不受到强烈的約束，那么无力矩理論的計算結果可說是足够准确的。反之，如器壁的形变受到强烈的約束，那末会产生較强烈的弯矩和弯应力，弯应力可能超过无力矩理論計算所得的张应力。此时就有必要在計算张应力的同时来計算弯矩和弯应力。分析容器强度的理論，如同时計算张应力和弯矩及弯应力，就称为有力矩理論。

例如图 1—1 所示容器的中間部分 1，在內压力作用下，容器的母綫仍近似地保持为直線，所以这部分并不产生弯曲变形，因而也沒有显著的弯应力。这部分容器是能适用无力矩理論計算方法的。

在图 1—1 容器的底部 2，由于平板底盖在半径方向中有很大的刚度，故在內压力的作用下，平板底盖的半径增值可忽略的小，因而对容器壁的形变造成强烈的約束。形变后这部分器壁母綫显然是两条平行綫間的过渡曲綫，这样清楚地說明了曲率的变化以及弯矩和弯应力的存在。

图 1—1 容器的頂蓋是半球形的。半球形端蓋在內压力作用下也产生形变，但是半球形端蓋的形变小于圓柱形部分，所以二者的接界部分(图中 3)也造成一种約束。不过半球形和圓柱形二者形变差別不很大，所以此項边缘应力並不严重。

对有力矩理論的研究，可使設計者了解容器較复杂的应力情况。例如对合理設計端蓋或环箍等加强措施时，就必须运用有力矩理論。

下面我們先分析最简单的情况，即圓形容器的有力矩理論，然后研究一般軸对称容器的有力矩理論。

第2节 圓形容器的有力矩理論

我們假設在內压力作用下，容器各部分都沒有超过材料的弹性极限。于是我們可分別計算张应力和弯曲应力，然后再把它們总和起来。

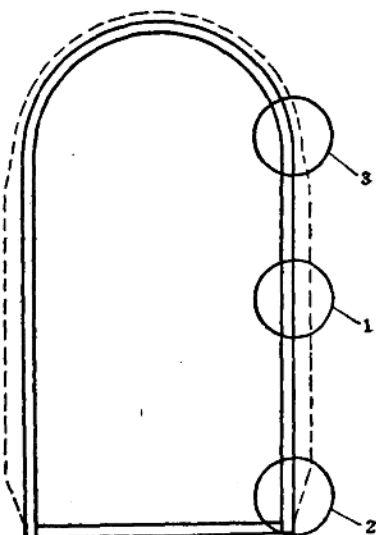


图 1—1

如圆柱形容器的半径是 R , 壁厚是 S , 器壁的轴向应力仍可采用无力矩理论的近似数值, 即:

$$\sigma_t = \frac{pR}{2S} \quad (1-1)$$

式中 σ_t 是轴向应力, p 是内压力。设在内压力作用下, 容器的半径增大为 $R + W$; 半径增值 W 显然是轴向坐标 x 的函数 (图 1-2)。

器壁的周向形变是:

$$\varepsilon_\theta = \frac{2\pi(R+W) - 2\pi R}{2\pi R} = \frac{W}{R} \quad (1-2)$$

由广义虎克定律 (忽略径向应力 σ_r),

$$\sigma_\theta = \frac{\varepsilon_\theta}{E} - \mu \frac{\sigma_t}{E} \quad (1-3)$$

得出周向应力的方程式:

$$\sigma_\theta = E\varepsilon_\theta + \mu\sigma_t \quad (1-4)$$

以(1-1)和(1-2)式代入(1-4)式而得:

$$\sigma_\theta = \frac{E}{R}W + \mu \frac{pR}{2S} \quad (1-5)$$

器壁的转动角显然可表示为:

$$\phi \approx \operatorname{tg}\phi = \frac{dW}{dx} \quad (1-6)$$

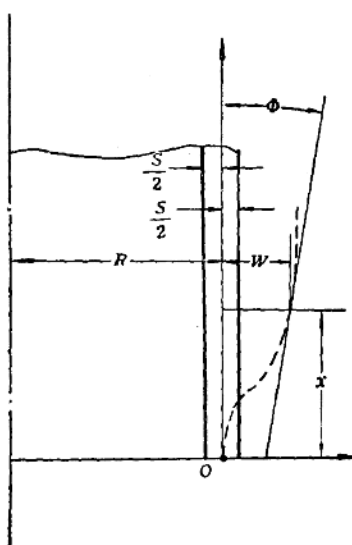


图 1-2

而形变后, 器壁母线的曲率是:

$$x_1 = \frac{d^2W}{dx^2} \quad (1-7)$$

器壁周线的曲率变化是:

$$x_2 = \frac{1}{R+W} - \frac{1}{R} \approx -\frac{W}{R^2} \quad (1-8)$$

因为 R 远远比 W 大, 所以 x_2 的影响可以忽略不计。如此即可写下弯曲应力的公式如下:

$$(\sigma_z)_* = -\frac{Ez}{1-\mu^2} x_1 = \frac{-Ez}{1-\mu^2} \frac{d^2W}{dx^2} \quad (1-9)$$

$$(\sigma_\theta)_* = -\frac{Ez}{1-\mu^2} \mu x_1 = -\frac{\mu Ez}{1-\mu^2} \frac{d^2W}{dx^2} \quad (1-10)$$

在公式(1-9)中加上负号, 是为了符合材料力学的习惯, 把拉伸应力写成正的, 压缩应力写成是负的。由图 1-3 可看出: 在器壁母线的外凹部分, $\frac{d^2W}{dx^2} > 0$, 但这部分 z 有正值处, 应力是负的; 在器壁母线的外凸部, $\frac{d^2W}{dx^2} < 0$, 但这部分 z 有正值处, 应力是正的; 因此(1-9)式加上负号, 可和习惯相统一。

应用由弯曲应力计算弯矩的公式:

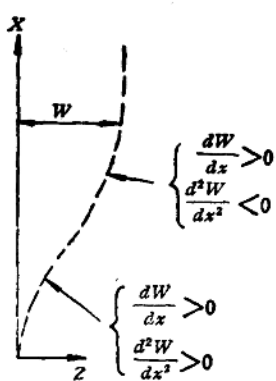


图 1-3

$$M_x = \int_{-\frac{S}{2}}^{\frac{S}{2}} (\sigma_x)_* z dz = -D \frac{d^2 W}{dx^2} \quad (1-11)$$

$$M_\theta = \int_{-\frac{S}{2}}^{\frac{S}{2}} (\sigma_\theta)_* z dz = -\mu D \frac{d^2 W}{dx^2} \quad (1-12)$$

式中：

$$D = \frac{E S^3}{12(1-\mu^2)} \quad (1-13)$$

下一步必须研究平衡条件。图1-4示器壁微块 $abcdefg$ 。截面 $abcd$ 和 $efgh$ 上作用着张应力 σ_θ 和弯矩 M_θ ，面积是 $S dx$ ；截面 $cdef$ 和 $ghab$ 上作用着张应力 σ_x ，剪力 Q 和弯矩 M_x ，面积是 $S R d\theta$ ；曲面 $adeh$ 的面积是 $R d\theta dx$ ，曲面上作用着均匀内压力 p （图中未画出）。 M 和 Q 是单位线长的弯矩和剪力。

研究半径方向（Z方向）中力的平衡条件（参阅图1-5）。

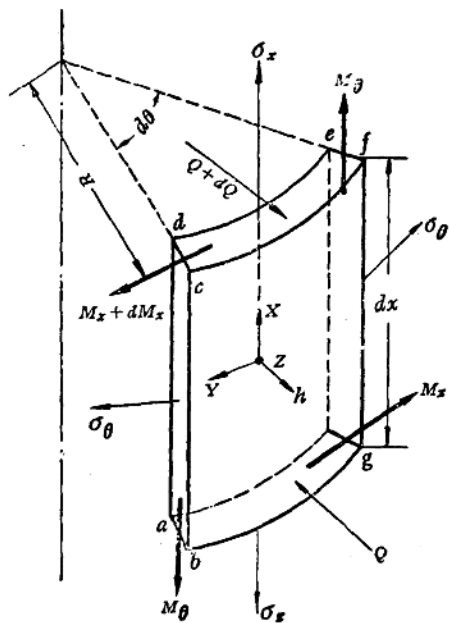


图 1-4

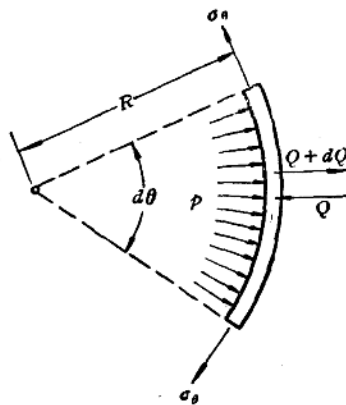


图 1-5

$$(R d\theta) dQ + p R d\theta dx - \sigma_\theta S dx d\theta = 0$$

得出：

$$\frac{dQ}{dx} = -p + \frac{\sigma_\theta S}{R} \quad (1-14)$$

造成母线弯曲的力矩（绕Y轴转动的力矩）的平衡条件：

$$(R d\theta) dM_x - Q R d\theta dx = 0$$

得出：

$$\frac{dM_x}{dx} = Q \quad (1-15)$$

(1-15)式代入(1-14)式中得到：

$$\frac{d^2M_x}{dx^2} = -p + \frac{\sigma_0 S}{R} \quad (1-16)$$

以(1-5)和(1-11)式代入(1-16)式，經整理而得到微分方程式：

$$\frac{d^4W}{dx^4} + 4k^4W = \frac{p}{D} \left(1 - \frac{1}{2}\mu\right) \quad (1-17)$$

式中： $k^4 = \frac{SE}{4R^2D} = \frac{3(1-\mu^2)}{R^2S^2}$ (1-18)

非齐次线性常微分方程式(1-17)的解是：

$$W = A_1 e^{-kx} \sin(kx + \beta_1) + A_2 e^{kx} \sin(kx + \beta_2) + \frac{pR^2}{ES} \left(1 - \frac{1}{2}\mu\right) \quad (1-19)$$

A_1 、 A_2 、 β_1 和 β_2 是积分常数。

如果容器壁的形变发展不受约束，半径增值应是：

$$W = \frac{pR^2}{ES} \left(1 - \frac{1}{2}\mu\right) \quad (1-20)$$

以(1-20)式和(1-19)式相比后，可知(1-19)式的前两项，是由于形变受到约束而产生的应力。在 x 有大数值时(容器很长)，这些应力不可能很大。因而可推断 A_2 只可能是零。于是 W 的公式为：

$$W = A_1 e^{-kx} \sin(kx + \beta_1) + \frac{pR^2}{ES} \left(1 - \frac{1}{2}\mu\right) \quad (1-21)$$

代入(1-6)式而得器壁转角公式：

$$\Phi = \frac{dW}{dx} = A_1 k e^{-kx} [\cos(kx + \beta_1) - \sin(kx + \beta_1)] \quad (1-22)$$

代入(1-11)式得作用于母线的弯矩公式：

$$M_x = -D \frac{d^2W}{dx^2} = 2A_1 D k^2 e^{-kx} \cos(kx + \beta_1) \quad (1-23)$$

由(1-15)式得：

$$Q = \frac{dM_x}{dx} = -2A_1 D k^3 e^{-kx} [\sin(kx + \beta_1) + \cos(kx + \beta_1)] \quad (1-24)$$

在(1-21)–(1-24)诸公式中，代入 $x=0$ 时，获得在坐标原点上的位移、转角、弯矩和剪力诸公式，即：

$$W_0 = A_1 \sin \beta_1 + \frac{pR^2}{ES} \left(1 - \frac{1}{2}\mu\right) \quad (1-25)$$

$$\Phi_0 = A_1 k (\cos \beta_1 - \sin \beta_1) \quad (1-26)$$

$$M_{x_0} = 2A_1 D k^2 \cos \beta_1 \quad (1-27)$$

$$Q_0 = -2A_1 D k^3 (\sin \beta_1 + \cos \beta_1) \quad (1-28)$$

在(1-25)–(1-28)诸公式中，消去 $\sin \beta_1$ 和 $\cos \beta_1$ ，可以坐标原点上的弯矩 M_{x_0} 和剪力 Q_0 来表示位移和转角如下：

$$W_0 = \frac{pR^2}{ES} \left(1 - \frac{1}{2}\mu\right) - \frac{Q_0}{2Dk^3} - \frac{M_{x_0}}{2Dk^2} \quad (1-29)$$

$$\Phi_0 = \frac{M_{x_0}}{Dk} + \frac{Q_0}{2Dk^2} \quad (1-30)$$

(1-29)和(1-30)两个公式是分析圆柱形容器和端盖接界处边缘应力的基础公式。例如端盖如果是平板(图1-1,部分3),那末 $W_0=0$, $\Phi_0=0$ 。此时由(1-29)和(1-30)式可得出:

$$M_{x_0} = -\frac{(2-\mu)k^2DpR^2}{ES} = -\frac{2-\mu}{4} \frac{pRS}{[3(1-\mu^2)]^{\frac{1}{2}}} \quad (1-31)$$

$$Q_0 = \frac{2(2-\mu)k^3DpR^2}{ES} = \left(1 - \frac{\mu}{2}\right) \frac{p\sqrt{RS}}{[3(1-\mu^2)]^{\frac{1}{2}}} \quad (1-32)$$

材料为碳素钢时, $\mu=0.3$, 此时:

$$M_{x_0} = -0.257pRS, \quad Q_0 = 0.66p\sqrt{RS}$$

相应的弯应力是:

$$\sigma_b = \pm \frac{6M_{x_0}}{S^2} = \pm 1.54 \frac{pR}{S}$$

相应的剪应力是:

$$\tau = \frac{Q_0}{S} = 0.66 p \sqrt{\frac{R}{S}}$$

在内压力的作用下, 圆柱形容器壁的形变发展受到平板端盖的约束, 于是产生的弯曲应力已超过周向张应力 $\frac{pR}{S}$ 。弯曲应力和轴向张应力的最大合成应力是 $2.04\frac{pR}{S}$, 比不受约束部分的最大张应力大一倍。因此平板端盖和其他使圆柱形容器壁的形变发展受到强烈约束的端盖结构, 只会使应力状态恶化, 显然都是不合理的。

关于一般轴对称容器的有力矩理论, 基本原理和上述圆柱形容器相同, 不过几何关系略为复杂, 将在下节详加探讨。

第3节 一般轴对称容器的有力矩理论

对于一般的轴对称容器, 我们取其器壁断面上一个弧线段 PQ , 如图1-6所示, 以分析其形变关系。根据微分几何的知识, 轴对称容器有两个主曲率半径, 可于图1-6中看出。经线曲率半径是 \overline{CP} , 记为 r_1 。纬线曲率半径是 \overline{OP} (纬线的曲率中心一定在对称轴上), 记为 r_2 。 \overline{CP} 线和水平线的夹角为 φ , \widehat{PQ} 弧的夹角为 $d\varphi$ 。

在内压力的作用下, 容器变形, 而弧线 \widehat{PQ} 转移到 $\widehat{P'Q'}$ 的位置如图1-7所示。 $\widehat{P'Q'}$ 弧的曲率中心在 C' 点。此时 P 点到 P' 点

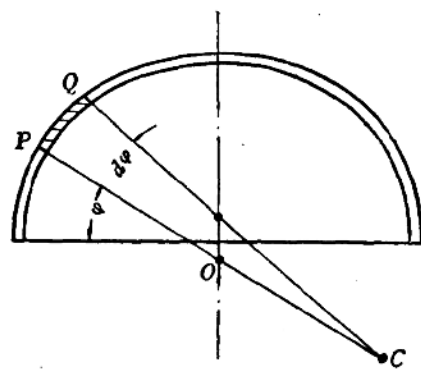


图 1-6

的位移可分解为切线方向位移 u 和半径方向位移 W 。根据函数增值定理^{*}, Q 点到 Q' 点的位移有切线方向分量 $u + \frac{du}{d\varphi} d\varphi$ 和半径方向分量 $W + \frac{dW}{d\varphi} d\varphi$ 。

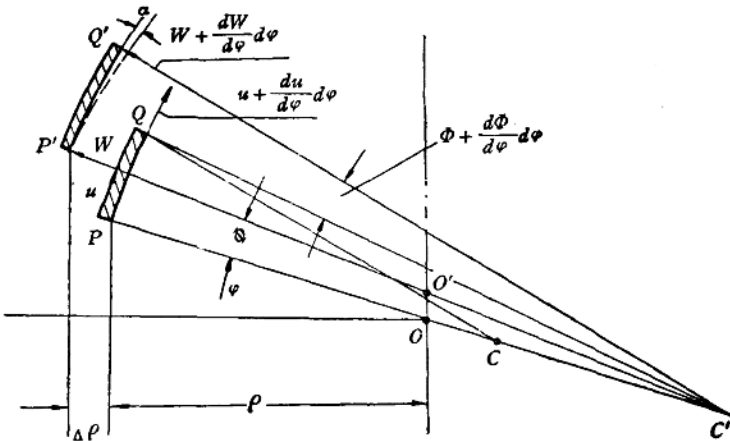


图 1-7

变形前 \widehat{PQ} 弧线的长度为 $r_1 d\varphi$, 变形后弧线长度为:

$$\widehat{P'Q'} = \frac{r_1 + W}{r_1} \left[r_1 d\varphi + u + \frac{du}{d\varphi} d\varphi - u \right] = \left(r_1 + W + \frac{du}{d\varphi} \right) d\varphi^{**}$$

于是可算出经线的单位拉伸形变为:

$$\varepsilon_\rho = \frac{\widehat{P'Q'} - \widehat{PQ}}{\widehat{PQ}} = \frac{1}{r_1} \frac{du}{d\varphi} + \frac{W}{r_1} \quad (1-33)$$

由图 7 可看出: $\rho = r_2 \cos \varphi$, $\Delta\rho = W \cos \varphi - u \sin \varphi$

于是算出纬线的单位拉伸形变为:

$$\varepsilon_\theta = \frac{2\pi(\rho + \Delta\rho) - 2\pi\rho}{2\pi\rho} = \frac{\Delta\rho}{\rho} = \frac{W}{r_2} - \frac{u}{r_2} \operatorname{tg} \varphi \quad (1-34)$$

上述 ε_ρ 和 ε_θ 是器壁中和面上的拉伸形变。下面我們分析經緯线曲率变化, 从而可确定弯曲公式。由图 1-8 可看出:

$$\Phi = \angle PCP' - \alpha$$

$$\text{但是: } \angle PCP' = \frac{u}{r_1}, \alpha = \frac{\frac{dW}{d\varphi} d\varphi}{\widehat{P'Q'}} \approx \frac{\frac{dW}{d\varphi} d\varphi}{r_1 d\varphi} = \frac{1}{r_1} \frac{dW}{d\varphi}$$

$$\text{故知: } \Phi = \frac{u}{r_1} - \frac{1}{r_1} \frac{dW}{d\varphi} \quad (1-35)$$

* $f(x+dx) = f(x) + \frac{df}{dx} dx + \dots \approx f(x) + \frac{df}{dx} dx$

** 略去高阶微小项: $\frac{W}{r_1} \frac{du}{d\varphi} d\varphi$

又在图 1—7 中，記变形后經綫的曲率半径：

$$\overline{C'P'} = r'_1, \text{ 而 } r'_1 = \frac{\widehat{P'Q'}}{\angle P'C'Q'}$$

$$\begin{aligned} \text{但是: } \angle P'C'Q' &= \angle P'C'Q + \angle QC'Q' = \\ &\angle PC'Q' - \angle PC'P' + \angle QC'Q' \\ &\approx \angle PCQ - \angle PC'P' + \angle QC'Q' \\ &= d\varphi - \Phi + \left(\Phi + \frac{d\Phi}{d\varphi} d\varphi \right) = \left(1 + \frac{d\Phi}{d\varphi} \right) d\varphi \end{aligned}$$

$$\frac{1}{r_1} = \frac{\angle P'C'Q'}{\widehat{P'Q'}} = \frac{\left(1 + \frac{d\Phi}{d\varphi} \right) d\varphi}{\left(r_1 + W + \frac{du}{d\varphi} \right) d\varphi} \approx \frac{1}{r_1} + \frac{1}{r_1} \frac{d\Phi}{d\varphi}$$

于是可算出經綫的曲率变化为：

$$x_1 = \frac{1}{r'_1} - \frac{1}{r_1} = \frac{1}{r_1} \frac{d\Phi}{d\varphi} \quad (1-36)$$

又在图 1—7 中，記变形后的緯綫曲率半径为： $\overline{P'O'} = r'_2$,

$$r_2 = \overline{OP} = \frac{\rho}{\cos \varphi}, \quad r'_2 = \overline{O'P'} = \frac{\rho + \Delta\rho}{\cos(\varphi + \Phi)}$$

故緯綫曲率半径的变化是：

$$\begin{aligned} x_2 &= \frac{1}{r'_2} - \frac{1}{r_2} = \frac{\cos(\varphi + \Phi)}{\rho + \Delta\rho} - \frac{\cos \varphi}{\rho} \\ &= \frac{\cos \varphi - \Phi \sin \varphi}{\rho + \Delta\rho} - \frac{\cos \varphi}{\rho} \approx -\frac{\Phi}{\rho} \sin \varphi = -\frac{\Phi}{r_2} \operatorname{tg} \varphi \end{aligned} \quad (1-37)$$

由曲率变化的分析結果，即可写下弯曲应力的公式如下：

$$(\sigma_\varphi)_* = \frac{Ez}{1-\mu^2}(x_1 + \mu x_2) = \frac{Ez}{1-\mu^2} \left(\frac{1}{r_1} \frac{d\Phi}{d\varphi} - \mu \frac{\Phi}{r_2} \operatorname{tg} \varphi \right) \quad (1-38)$$

$$(\sigma_\theta)_* = \frac{Ez}{1-\mu^2}(x_2 + \mu x_1) = \frac{-Ez}{1-\mu^2} \left(\frac{\Phi}{r_2} \operatorname{tg} \varphi - \mu \frac{1}{r_1} \frac{d\Phi}{d\varphi} \right) \quad (1-39)$$

于是即可推出經綫方向和緯綫方向的弯矩公式如下：

$$M_\varphi = \int_{-\frac{s}{2}}^{\frac{s}{2}} (\sigma_\varphi)_* zdz = D \left(\frac{1}{r_1} \frac{d\Phi}{d\varphi} - \mu \frac{\Phi}{r_2} \operatorname{tg} \varphi \right) \quad (1-40)$$

$$M_\theta = \int_{-\frac{s}{2}}^{\frac{s}{2}} (\sigma_\theta)_* zdz = -D \left(\frac{\Phi}{r_2} \operatorname{tg} \varphi - \mu \frac{1}{r_1} \frac{d\Phi}{d\varphi} \right) \quad (1-41)$$

下一步象我們在分析圓柱形容器的情况时所做的一样，必須进而分析平衡条件。取容器微块 $abcdefgh$ 如图 1—9 所示。此微块的曲面 $cdeh$ 属于容器的外壁，曲面 $abgf$ 属于容器的内壁。 $abcd$ 和 $efgh$ 各属于通过容器对称軸 $X-X$ 的鉛垂平面；这两个鉛垂平面間的夹角为 $d\theta$ 。 $adef$ 和 $bchg$ 各是通过經綫曲率中心 c ，而垂直于經綫的平面，它們間的夹角为 $d\varphi$ 。半径 cb 就是經綫曲率半径 r_1 ，它和水平面間的夹角为 φ 。

平面 $abcd$ 和 $efgh$ 的面积各是 $S r_1 d\varphi$ (壁厚为 S)。平面 $adef$ 和 $bchg$ 的面积各是

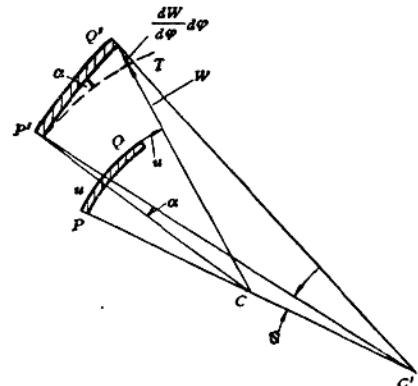


图 1—8

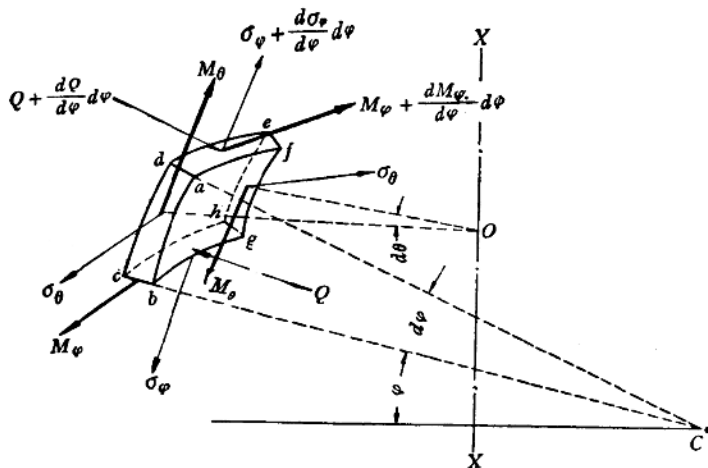


图 1-9

$Sr_2 \cos \varphi d\theta$ 。在 $adef$ 和 $bchg$ 面上各作用着 經綫張应力 σ_φ , 經綫彎 矩矢 M_φ 和橫剪力 Q 。在 $abcd$ 和 $efgh$ 面上則作 用着 縱綫張应力 σ_θ 和 縱綫彎矩矢 M_θ 。在曲面 $abgf$ 上則作 用着 內壓 力 p 。曲面 $abgf$ 的面積為 $(r_1 d\varphi)(r_2 \cos \varphi d\theta)$ 。

先研察垂直于經綫 方向中力的平衡条件， 有关力的投影如图 1-10 所示。

平衡条件被归結为下列方程式：

$$\frac{d(Qr_2 \cos \varphi)}{d\varphi} + \sigma_\varphi S r_2 \cos \varphi + \sigma_\theta S r_1 \cos \varphi = p r_1 r_2 \cos \varphi$$

此方程式中采用新的变数： $U = r_2 Q$ ， 并作簡化后得到方程式：

$$\sigma_\theta = \frac{1}{Sr_1} \left(U \operatorname{tg} \varphi - \frac{dU}{d\varphi} \right) + \frac{pr_2}{S} - \sigma_\varphi \frac{r_2}{r_1} \quad (1-42)$$

研察力矩的平衡条件时，把力矩矢投影于俯视图中（垂直于对称軸 $X-X$ 的平面中）如图 1-11 所示。

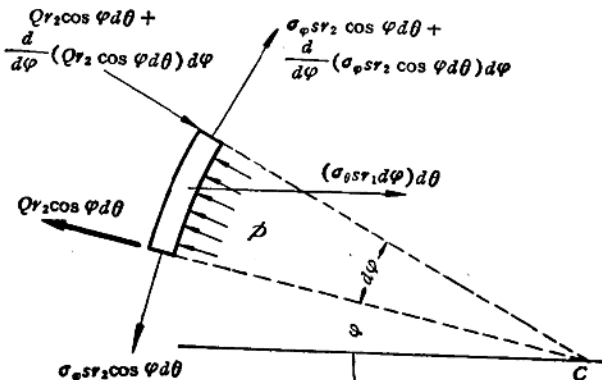


图 1-10

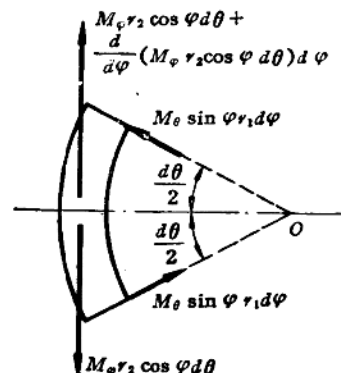


图 1-11

平衡条件归結为方程式：

$$\frac{d}{d\varphi} (M_\varphi r_2 \cos \varphi) + Q r_1 r_2 \cos \varphi + M_\theta r_1 \sin \varphi = 0$$

采用新的参数 U ，則此方程式成为：

$$\frac{d}{d\varphi}(M_\varphi r_2 \cos \varphi) + Ur_1 \cos \varphi + M_\theta r_1 \sin \varphi = 0 \quad (1-43)$$

最后研究顶部壳体的平衡条件如图 1-12。

$2\pi r_2 \cos \varphi (S\sigma_\varphi \cos \varphi - Q \sin \varphi) = \pi(r_2 \cos \varphi)^2 p$
经过简化后得到方程式：

$$\sigma_\varphi = \frac{pr_2}{2S} + \frac{Q}{S} \operatorname{tg} \varphi = \frac{pr_2}{2S} + \frac{U}{r_2 S} \operatorname{tg} \varphi \quad (1-44)$$

根据(1-42)、(1-44)两式和虎克定律，可写下
以参数 U 表示的 ε_φ 和 ε_θ 公式如下：

$$\begin{aligned} \varepsilon_\varphi &= \frac{1}{E} (\sigma_\varphi - \mu \sigma_\theta) = \frac{1}{ES} \left[\left(\frac{pr_2}{2} + \frac{U}{r_2} \operatorname{tg} \varphi \right) \left(1 + \mu \frac{r_2}{r_1} \right) - \mu \left(\frac{U}{r_1} \operatorname{tg} \varphi - \frac{1}{r_1} \frac{dU}{d\varphi} + pr_2 \right) \right] \\ &= \frac{1}{ES} \left[\frac{\mu}{r_1} \frac{dU}{d\varphi} + \frac{U}{r_2} \operatorname{tg} \varphi + p \left(\frac{r_2}{2} + \mu \frac{r_2^2}{2r_1} - \mu r_2 \right) \right] \end{aligned} \quad (1-45)$$

$$\begin{aligned} \varepsilon_\theta &= \frac{1}{E} (\sigma_\theta - \mu \sigma_\varphi) = \frac{1}{ES} \left[\left(\frac{U}{r_1} \operatorname{tg} \varphi - \frac{1}{r_1} \frac{dU}{d\varphi} + pr_2 \right) - \left(\frac{r_2}{r_1} + \mu \right) \left(\frac{pr_2}{2} + \frac{U}{r_2} \operatorname{tg} \varphi \right) \right] \\ &= \frac{1}{ES} \left[-\frac{1}{r_1} \frac{dU}{d\varphi} - \frac{\mu}{r_2} U \operatorname{tg} \varphi + p \left(r_2 - \frac{r^2}{2r_1} - \mu \frac{r_2}{2} \right) \right] \end{aligned} \quad (1-46)$$

又在(1-33)、(1-34)、(1-35)式所组成的方程式系中，消去 U 、 W 和它们的导数，即在(1-34)式中令 $\varepsilon_\theta r_2$ 对 φ 求导数，再将该三式代入，可得出 ε_φ 、 ε_θ 和 Φ 间的相互关系如下：

$$\frac{d}{d\varphi} (r_2 \varepsilon_\theta) = (r_2 \varepsilon_\theta - r_1 \varepsilon_\varphi) \operatorname{tg} \varphi - r_1 \Phi \quad (1-47)$$

因为这个方程式表示了 ε_θ 、 ε_φ 和 Φ 间几何上的协调关系，故有时称为“协调方程式”。

把(1-45)和(1-46)式代入(1-47)式并经简化整理后，获得如下的微分方程式：

$$\begin{aligned} ES r_1 \Phi &= \frac{r_2}{r_1} \frac{d^2 U}{d\varphi^2} + \left[\frac{d}{d\varphi} \left(\frac{r_2}{r_1} \right) - \frac{r_2}{r_1} \operatorname{tg} \varphi \right] \frac{dU}{d\varphi} + \left(\mu - \frac{r_1}{r_2} \operatorname{tg}^2 \varphi \right) U \\ &- p \operatorname{tg} \varphi \left[\frac{1-2\mu}{2} r_1 r_2 - (1-\mu) r_2^2 + \frac{r_2^3}{2r_1} \right] + p \frac{d}{d\varphi} \left[\frac{r_2^3}{2r_1} + \left(1 - \frac{\mu}{2} \right) r_2^2 \right] \end{aligned} \quad (1-48)$$

又把(1-40)和(1-41)式代入(1-43)式，并作简化整理后，获得微分方程式如下：

$$-\frac{r_1 U}{D} = \frac{r_2}{r_1} \frac{d^2 \Phi}{d\varphi^2} + \left[\frac{d}{d\varphi} \left(\frac{r_2}{r_1} \right) - \frac{r_2}{r_1} \operatorname{tg} \varphi \right] \frac{d\Phi}{d\varphi} - \left(\mu + \frac{r_1}{r_2} \operatorname{tg}^2 \varphi \right) \Phi \quad (1-49)$$

最后所得(1-48)和(1-49)两式是一般轴对称容器有力矩理论的微分方程式系。因为形式较为复杂，由此求精确解答是困难的。但对于球形端盖、椭球形端盖和圆锥形壳体的边缘问题，则不难求得适用的近似解。

第 4 节 球形端盖的边缘问题

对于球形端盖， $r_1 = r_2 = R$ ；于是方程式(1-48)和(1-49)可简化为：

$$ES R \Phi = -\frac{d^2 U}{d\varphi^2} - \operatorname{tg} \varphi \frac{dU}{d\varphi} + (\mu - \operatorname{tg}^2 \varphi) U \quad (1-50)$$

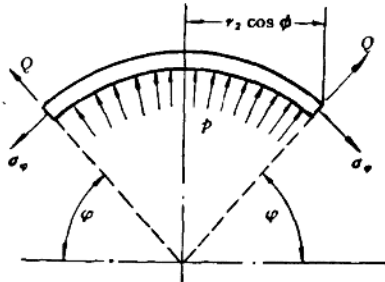


图 1-12

$$-\frac{R}{D}U = \frac{d^2\Phi}{d\varphi^2} - \operatorname{tg}\varphi \frac{d\Phi}{d\varphi} - (\mu + \operatorname{tg}^2\varphi)\Phi \quad (1-51)$$

由图1—6可看出，在端盖問題中， φ 角接近于0；器壁如足够薄，参数 U 和 Φ 跟着离开边缘的距离而很快消失。所以方程式中的 $\operatorname{tg}\varphi$ 项可以认为是零。此外由于 U 和 Φ 是微小值，所以可以认为它们比起它们的导数来是远远地小。就是說：可认为：

$$U \ll \frac{dU}{d\varphi} \ll \frac{d^2U}{d\varphi^2}; \quad \Phi \ll \frac{d\Phi}{d\varphi} \ll \frac{d^2\Phi}{d\varphi^2}$$

这样，方程式(1-50)和(1-51)可进一步简化为：

$$ESR\Phi = \frac{dU^2}{d\varphi^2} \quad (1-52)$$

$$-\frac{R}{D}U = \frac{d^2\Phi}{d\varphi^2} \quad (1-53)$$

把(1-53)式代入(1-52)式，就获得微分方程式：

$$\frac{d^4\Phi}{d\varphi^4} + 4k_1^4\Phi = 0 \quad (1-54)$$

式中：

$$k_1^4 = \frac{R^2ES}{4D}; \quad k_1 = [3(1-\mu^2)]^{1/4} \sqrt{\frac{R}{S}} \quad (1-55)$$

微分方程式(1-54)的解是：

$$\Phi = B_1 e^{-k_1\varphi} \sin(k_1\varphi + \alpha_1) + B_2 e^{k_1\varphi} \sin(k_1\varphi + \alpha_2) \quad (1-56)$$

显然在 φ 有較大值时， Φ 应趋近于零。故(1-56)式中的积分常数 B_2 只可能是零；于是此轉角方程式成为：

$$\Phi = B_1 e^{-k_1\varphi} \sin(k_1\varphi + \alpha_1) \quad (1-57)$$

由(1-53)和 $U=r_2Q$ 的关系，获得剪力公式为：

$$Q = \frac{U}{R} = -\frac{D}{R^2} \frac{d^2\Phi}{d\varphi^2} = \frac{2B_1k_1^2D}{R^2} e^{-k_1\varphi} \cos(k_1\varphi + \alpha_1) \quad (1-58)$$

由(1-44)式：

$$\sigma_\varphi = \frac{pR}{2S} \quad (1-59)$$

由(1-42)、(1-59)和(1-58)式：

$$\sigma_\theta = \frac{pR}{2S} - \frac{1}{RS} \frac{dU}{d\varphi} = \frac{pR}{2S} + \frac{2B_1k_1^2D}{R^2S} e^{-k_1\varphi} [\sin(k_1\varphi + \alpha_1) + \cos(k_1\varphi + \alpha_1)] \quad (1-60)$$

由(1-40)和(1-57)式：

$$M_\varphi = \frac{D}{R} \frac{d\Phi}{d\varphi} = \frac{B_1k_1D}{R} e^{-k_1\varphi} [\cos(k_1\varphi + \alpha_1) - \sin(k_1\varphi + \alpha_1)] \quad (1-61)$$

由(1-41)和(1-57)式：

$$M_\theta = -\frac{\mu D}{R} \frac{d\Phi}{d\varphi} = \mu \frac{B_1k_1D}{R} e^{-k_1\varphi} [\cos(k_1\varphi + \alpha_1) - \sin(k_1\varphi + \alpha_1)] \quad (1-62)$$

由(1-34)、(1-59)和(1-60)式，可确定位移（半径增值）公式如下：

$$W = \Delta p = \rho \varepsilon_0 = \frac{R \cos \varphi}{E} \left\{ \frac{\rho R}{2 S} (1 - \mu) + \frac{2 B_1 k_1^2 D}{R^2 S} e^{-k_1 p} [\sin(k_1 p + \alpha_1) + \cos(k_1 p + \alpha_1)] \right\} \quad (1-63)$$

在(1-57)、(1-58)、(1-61)和(1-63)式中令 $\varphi=0$, 可获得壳体边缘上的转角、剪力、弯矩和位移表示如下:

$$\Phi_0 = B_1 \sin \alpha_1 \quad (1-64)$$

$$Q_0 = \frac{2 B_1 k_1^2 D}{R^2} \cos \alpha_1 \quad (1-65)$$

$$M_0 = (M_\varphi)_0 = \frac{B_1 k_1 D}{R} (\cos \alpha_1 - \sin \alpha_1) \quad (1-66)$$

$$W_0 = \frac{\rho R^2}{2 S E} (1 - \mu) + \frac{2 B_1 k_1^2 D}{R S E} (\sin \alpha_1 + \cos \alpha_1) \quad (1-67)$$

以(1-18)和(1-55)式相比较, 可得知:

$$k_1 = k R \quad (1-68)$$

在(1-64)–(1-67)式中消去 $\sin \alpha_1$ 和 $\cos \alpha_1$, 并应用关系式(1-68), 可写出以 Q_0 和 M_0 表示的 W_0 和 Φ_0 公式如下:

$$W_0 = \frac{\rho R^2}{2 E S} (1 - \mu) + \frac{Q_0}{2 k^3 D} - \frac{M_0}{2 k^2 D} \quad (1-69)$$

$$\Phi_0 = \frac{Q_0}{2 k^2 D} - \frac{M_0}{k D} \quad (1-70)$$

解球形端盖和圆柱形容器的接界边缘问题时, 圆柱形容器边缘的位移(1-29)式、转角(1-30)式, 必需和球形端盖边缘上的位移(1-69)式、转角(1-70)式相等(圆柱形容器和球形端盖的壁厚假设相等); 于是有:

$$\begin{aligned} & \frac{\rho R^2}{E S} \left(1 - \frac{1}{2} \mu \right) - \frac{Q_0}{2 D k^3} - \frac{M_0}{2 D k^2} \\ & = \frac{\rho R^2}{2 E S} (1 - \mu) + \frac{Q_0}{2 D k^3} - \frac{M_0}{2 D k^2} \\ & \frac{M_0}{D k} + \frac{Q_0}{2 D k^2} = \frac{Q_0}{2 D k^2} - \frac{M_0}{D k} \end{aligned}$$

此两方程式的解给出:

$$M_0 = 0; \quad Q_0 = \frac{\rho R^2 D k^3}{2 E S} = \frac{\rho}{8 R} = \frac{\rho \sqrt{R S}}{8 [3(1 - \mu^2)]^{1/4}} \quad (1-71)$$

$$\text{对于碳素钢板, } \mu = 0.3, \quad Q_0 = \frac{\rho}{10.28} \sqrt{R S}$$

上面的解说明在半球形盖和圆柱形容器的接界边缘, 在内压力的作用下并不产生弯矩, 仅有的是微小的剪力:

$$\tau_0 = \frac{Q_0}{S} = \frac{\rho}{10.28} \sqrt{\frac{R}{S}}$$